

العمليات الساحلية فيما بين بوغاز البرلس ومصب مصرف كتشنر
ساحل دلتا النيل ، مصر ، دراسة جيومورفولوجية

إعداد

د/ نورة عبد التواب السيد عطية

مدرس الجغرافيا الطبيعية بكلية البنات جامعة عين شمس

المقدمة :

تمثل منطقة الدراسة قطاع من ساحل دلتا النيل يمتد بنحو 40 كم من مصب مصرف كتشنر فى الشرق إلى بوغاز البرلس فى الغرب، ويحدها ساحل البحر المتوسط شماليًّاً وساحل بحيرة البرلس جنوبًاً، وتقع فيما بين خطى عرض $30^{\circ} - 31^{\circ}$ شماليًّاً، وخطى طول $57^{\circ} - 30^{\circ} - 15^{\circ}$ شرقاً (شكل رقم 1). ويتوجه خط الساحل فى منطقة الدراسة بصورة عامة من الشمال الشرقي إلى الجنوب الغربى بإستقامة شديدة، مع تعرجات خفيفة مكوناً خجاناً صغيرة تفصل فيما بين بروزين رئيسيين .

أثر الموقع الجغرافى تأثيراً كبيراً فى الخصائص الطبيعية والبشرية ، فمن الناحية الطبيعية لعب الموقع دوره فى أنه يمثل جبهة التقاء بين اليابس والماء حيث يتأثر بالعمليات البحرية (شكل 1) خاصة ما يرتبط منها بالأمواج والتيارات الشاطئية التى تتبادل أدوارها ما بين نهر وإرسب ، وفيما يتعلق بالخصائص الليثولوجية فإن شواطئ منطقة الدراسة تتالف من رواسب مفككة من الكوارتز المخلوط بالمفتتات الصدفية والمعادن الثقيلة ، تشكل شواطئ منطقة الدراسة وحدة جيومورفولوجية تجاور السهل الساحلى الدلتاوى وتم تمييزها على أساس الإختلاف الطبعجرافى العام لساحل دلتا النيل ، وتشكل هذه الشواطئ الجانب المواجه للبحر من الحاجز الرملى الذى يفصل بحيرة البرلس عن البحر المتوسط ، وبشكل عام فإن منطقة الدراسة تنتهي للقطاع الأوسط من الدلتا حيث الإتجاه العام للإنحدار صوب الشمال (عمر محمد محسوي ، 2009 ، ص 3) ، وتتسم المنطقة بالأسطح المتGANسة وتنحدر تدريجياً نحو البحر ، ويتراوح إتساعها من أمتار قليلة إلى 4 كم ، وتنتركز الشواطئ المتعددة فى القطاع الشرقي من منطقة الدراسة ، وتمتد من بوغاز بحيرة البرلس حتى شاطئ بطيم بطول 18 كم ، وتنحدر جبهة الشاطئ بطيف ($2^{\circ} - 4^{\circ}$) أما غالبيتها فيتراوح إنحدارها فيما بين $2^{\circ} - 5^{\circ}$ ، بينما الشواطئ الشرقية الممتدة من مصيف بطيم حتى مصب مصرف كتشنر فإنها تتسم بالضيق النسبي وتضم أسطح عالية الإنحدار ($5^{\circ} - 15^{\circ}$) ويتراوح غالبيتها فيما بين $7^{\circ} - 12^{\circ}$ (صورة رقم 1) .

صورة رقم (2) شاطئ شرق بوغاز البرلس

صورة رقم (1) شواطئ شرق بطيم

يظهر على الساحل بعض البروز البحرية Rise freely بمتوسط مسافة فاصلة بين كل منها تصل 1.2 كم ومتوسط إرتفاع تراوح بين 45 – 65 سم ، وقد لاحظ الفيشاوى منذ أكثر من 25 سنة أن هذه الرؤوس تهاجر شرقاً بمعدل 340 متر / شهر (El-Fishawy,1977,p143).

تتميز مورفولوجية الشاطئ القريب¹ والشاطئ البعيد offshore ، بإنها في حالة من الثبات النسبي على طول ساحل منطقة الدراسة ، وقد تم اختيار شواطئ ساحل مصرف كتشنر ومصيف بلطيم كمنطقة للدراسة لأنهما يشكلان إقليماً جيومورفولوجياً مميزاً يعكس عمليات جيومورفولوجية مركبة نهرية riverine وبحرية marine و هوائية wind ، كما أن الشواطئ في هذا القطاع ذات تغيرات سريعة وخطيرة.

2- الرواسب السطحية وجيولوجية المنطقة:

تقع منطقة الدارسة داخل نطاق الأراضي التي تأثرت وتكونت بفعل عمليات الارسال النهري مع دخول دلتا النيل مرحلة البناء منذ ما يقرب من 7000 عام قبل الأن ، في نهاية فترة الهولوسين (Massetlink, G., and Hughes 2003,p6.) فقد استمر النهر خلال النصف الأول من هذه الفترة يرسّب مواده الطميّة في شمال وشرق الدلتا (منطقة الدراسة) ، على حين كان متوجهاً للنحوت إلى الجنوب من هذه المنطقة (عادل عبد المنعم السعدنى ،2006،ص 102) ، كما تتميز منطقة الدراسة في الوقت الراهن بإستواء السطح وتغطيته الرواسب الغرينية الناعمة التي اشتقت من منابع النيل العليا ثم أرسبتها الأفرع الدلتاوية في مياه البحر المتوسط ثم أرسبتها التيارات البحرية على الساحل لكي تشكّلها الرياح في صورة أشكال شريطية على الساحل إلى الجنوب يغطي السطح الطمي النيلي الذي ينخلله سبخات وغرين وأملال (عادل عبد المنعم السعدنى،2003،ص ص 111 - 132) ، ويلاحظ أن الصحراء الشرقية قد ظلت تمثل المصدر الأساسي للتكتونيات الدلتاوية حتّى العصر الحجري القديم الأعلى عندما بدأ وصول المياه من الحبشة إلى مصر ، وقد قام النهر بحمل كميات ضخمة من الرواسب الطميّة وأرسبتها في مصر السفلى وذلك عقب إتصال النيل الأدنى بالمنابع الإستوائية (إسلام سلامة محمد ، 2006 ، ص 9،10 ،، وبصورة عامة فإن سطح منطقة التكتونيات المورفولوجياً المترافقية للدلتا جلبها فرع دمياط إلى منطقة البوغاز وهي المدخل من عمل الباحثة إعتماداً عضلاً عن الرواسب التي قامت التيارات البحرية الساحلية بإرسابها .

1- خرائط طبوغرافية مقاييس 1 : 50000 أصدرتها الهيئة العامة للمساحة المصرية بالتعاون مع وكالة ثانية- أهداف الدراسة :

أ- تحديد مواضع شواطئ النحوت وشواطئ الإرساب إعتماداً على خصائص حجم الحبيبية لهم عمليات التصنيف .

ب- تحديد المعدلات السنوية للنحوت والإرساب على الشاطئ إعتماداً على قطاعات الشاطئ بساحل منطقة الدراسة .

ج- رسم خريطة مورفوديناميكية لتوفّر معلومات دقيقة يمكن أن تساعدها المسؤولين عن التخطيط والإدارة والتنمية المستقبلية لمنطقة الدراسة .

¹) انظر لسان العرب، ابن منظور 302/7، مادة (ربط)، دار صادر، بيروت، لبنان، ط1، 1955م.

د- تقييم القوى المتحكمة فى النحت على طول ساحل منطقة الدراسة وإقتراح بعض الحلول الملائمة لمواجهة مشكلات النحت وترابع خط الساحل .

ثالثاً- طريقة الدراسة :

تم استخدام العديد من الأساليب الإحصائية والكمية والكارتوغرافية ونظم المعلومات الجغرافية والدراسة الميدانية ، التى ساعدت على حصر مواضع الخطر ، ومعرفة مدى تطور سطح الأرض ، وتقييم الأخطار التى تتعرض لها الشواطئ

تم جمع 18 عينة بعناية من نطاق الشاطئ بقطر تراوح بين 10-15 سم تم جمعها على مسافات ضيقة فى صورة مربعات تمثل فى مجموعها مستطيل او مربع لتوخذ العينات من مراكز تلاقي الا يصلاع (شكل رقم 2) وعلى اساس الاعماق المطلوب اخذ العينات منها لتشمل كل منطقة الدراسة وتعكس التباين المكانى وتكون ذو دلالة جيومورفولوجية .

شكل رقم (2) موقع العينات المدروسة بمنطقة الدراسة

أما فيما يتعلق بتحليل حجم الحبيبة فقد تم إجراء التحليل الميكانيكي بطريقة النخل التقليدية باستخدام غربال شاكر Ro-Tap shaker لنحو 250 جرام لكل عينة لمدة 20 دقيقة ثم تمثيل البيانات التي تم الحصول عليها في صورة منحنيات بيانية تراكمية احتمالية (شكل 12) ، كما أمكن تقدير أقطار حجم الحبيبة باستخدام معادلة فولك وورد (folk and ward 1975) (جدول 9) .

أما التحليل المعدني فقد تم نخل العينات التي تراوحت أقطارها بين 0.063-0.125 ملليمتر (Ø 4-3) ممثلة لرمال ناعمة جداً ثم استخدامها لفصل المعادن الثقيلة والتحليل البتروغرافي بمعامل الهيئة المصرية للمساحة الجيولوجية ، كما تم فصل المعادن الثقيلة بكثافة 2.9 جرام / سـم 3 باستخدام صوديوم تونجستات sodium polytungstate يتم عده على شرائح زجاجية في بلسم كندا المستخدم في وصف الصخور ، كما تم تحليل العدد بالنقطة باستخدام الميكروسكوب الإستقطابي polarizing microscope ، حيث تم عد كل شريحة تتكون من 100 حبيبة على طول خط عرضى عشوائى لتحديد نسبة المعادن المعتم ، بالإضافة إلى 200 حبيبة لحساب النسبة المئوية لأنواع المعادن (جدول 9) .

أما فيما يتعلق بالقياسات الميدانية التي تمت لدراسة أثر العمليات الساحلية على الشواطئ المدروسة ، فقياسات الموجة الإتجاهية (ارتفاع ، سرعة ، وإتجاهها) تم إجراءها بواسطة الباحثة خلال سبتمبر 2012 ، وأغسطس 2013 على طول منطقة الدراسة ، أما أبعاد الموجة من حيث طول الموجة وحدة الموجة وطاقة الموجة فقد تم حسابها على أساس فصلى ، كما تم دراسة تغيرات خط الساحل قصيرة المدى من خلال 8 قطاعات للشاطئ تم قياسها من الشاطئ الأمامي foreshore حتى عمق 50 سم تقريباً (شكل 10) .

وقد كانت القطاعات المدروسة عمودية على خط الساحل وتغطي النطاق المدروس من مصب مصرف كتشنر شرقاً حتى بوغاز البرلس غرباً وتراوحت المسافة الفاصلة بين هذه القطاعات من 9-1 كم تتسق في مجموعها بأنها نطاقات سريعة التغير (شكل رقم 10) .

أما فيما يتبعق بمصادر الدراسة فقد تم الإعتماد على :

- 1- الخرائط الطبوغرافية والجيولوجية ومرئيات الأقمار الصناعية:
أ- الخرائط الطبوغرافية: اعتمدت الدراسة على موزايك خرائط بمقاييس رسم 1:50.000 أصدرتها الهيئة المصرية العامة للمساحة بالتعاون مع وكالة التعاون الدولي للولايات المتحدة الأمريكية ، المشروع الفنلندي ، لوحات: البرج ، وبلطيم ، والحامول ، وسيدي سالم ، وإدفينا ، ورشيد.
- ب - مرئيات الأقمار الصناعية: اعتمدت الدراسة على ثلاثة مركبات أقمار صناعية رقمية الأولى لعام LANDSAT 7 ETM1972 بدرجة وضوح 30 متر (ثلاث طبقات) ، والثانية لعام 1984 بدرجة وضوح 30 متر (سبع طبقات) ETM+.

وقد اعتمد على هذه المرئيات في تحديد حدود خط الساحل ، وفي رسم حدود العديد من الظاهرات الجيومورفولوجية كالسبخات ، والمصاطب البحرية، الكثبان الرملية، وغيرها.

رابعاً : النتائج والمناقشة :**1- ديناميكية العمليات الساحلية :**

تتعرض منطقة الدراسة للعمليات البحرية الممثلة في كل من الأمواج والتيارات الساحلية والمد والجزر وفيما يلى تحليلًا تفصيليًّا لكل منها :

أ - تأثير الأمواج :

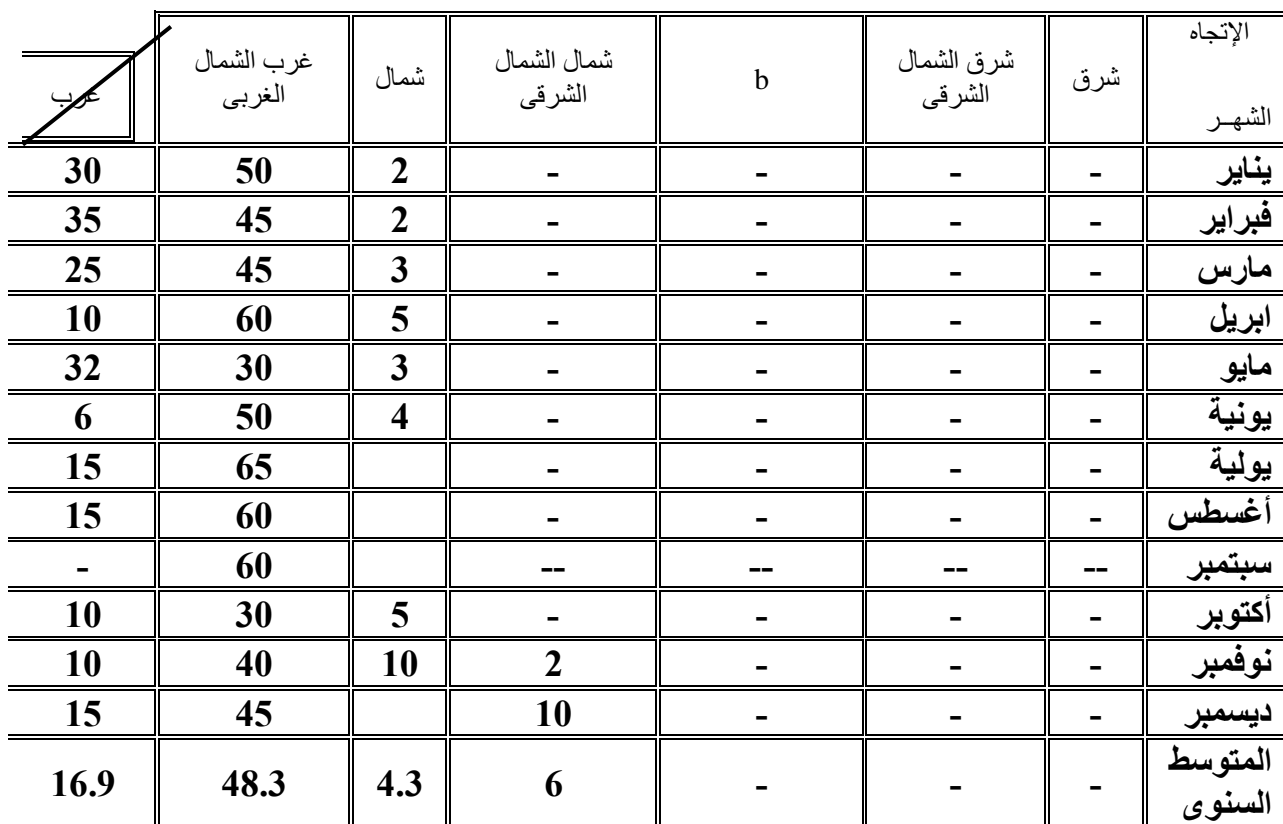
تمثل الأمواج العامل الأساسي في تشكيل مورفولوجية الشاطئ، كما تقوم بتصنيف الرواسب على جبهة الشاطئ Shoreface ونقل الرواسب للشاطئ القريب Onshore والشاطئ بعيد Naffaa, 1995, p219 والساحل Offshore

يتضح من دراسة الجدول رقم (1) والشكل رقم (3) أن الإتجاه السائد للأمواج هو الشمالي الغربي، إذ تصل نسبة المتوسط السنوي لحدوث الأمواج إلى 78% منها 7% شمال الشمال الغربي، 25% شمال غرب، 46% غرب الشمال الغربي، أما الأمواج الغربية والشمالية وشمالية شرقية فقد بلغت النسبة المئوية للمتوسط السنوي إلى 17%، 3%، 2% لكل منها على التوالي.

ومن دراسة التوزيع الشهري للنسب المئوية لتكرارات حدوث الأمواج (جدول رقم 1) والشكل (3) يتضح أن الأمواج الغربية شمالية غربية تسود خلال أشهر العام المختلفة وإن كانت تصل لذروتها خلال فصل الصيف (يونية – سبتمبر) إذ تتراوح نسبتها فيما بين 46% - 56%.

أما الأمواج الشمالية والشمالية شماليّة غربية فلا تمثل سوى بأشهر فصل الشتاء حيث تراوحت نسبتها فيما بين 2% - 15% على حين لا تمثل الأمواج الشمالية شماليّة شرقية سوى بشهر نوفمبر بنسبة لا تتعدي 2% من إجمالي نسبة المتوسط السنوي.

ولما كانت الرياح هي العامل المسؤول عن توليد الأمواج التي تولد بدورها التيارات الساحلية بالسواحل فقد تم مقارنة بيانات الجدول الخاص بالمتوسطات الشهرية للنسب المئوية لإتجاه الرياح (جدول رقم 2) والشكل المماثل له (شكل رقم 3) ببيانات الأمواج (جدول رقم 1) وإتضح أن الرياح الغربية والشمالية الغربية تمثل ما يقرب من نصف المتوسط السنوي للنسب المئوية لإتجاه الرياح خلال الفترة المدروسة (42.9%) حيث بلغت 23.2%، 19.7% لكل منهما على التوالي.



	غرب الشمال الغربي	شمال	شمال الشمال الشرقي	b	شرق الشمال الشرقي	شرق	الإتجاه الشهري
30	50	2	-	-	-	-	يناير
35	45	2	-	-	-	-	فبراير
25	45	3	-	-	-	-	مارس
10	60	5	-	-	-	-	ابريل
32	30	3	-	-	-	-	مايو
6	50	4	-	-	-	-	يونية
15	65		-	-	-	-	يولية
15	60		-	-	-	-	أغسطس
-	60		--	--	--	--	سبتمبر
10	30	5	-	-	-	-	أكتوبر
10	40	10	2	-	-	-	نوفمبر
15	45		10	-	-	-	ديسمبر
16.9	48.3	4.3	6	-	-	-	المتوسط السنوى

يتضح من دراسة الجدول رقم (2) والشكل رقم (4) أن النسبة المئوية لإتجاه الرياح التي تهب من الشمال الغربى تصل لذروتها خلال فصل الصيف (يونية – سبتمبر) حيث تراوحت فيما بين 39.8% - 49.6% ، وتعتبر العواصف التى تهب على البحر المتوسط شتاءً مرتبطة بالمنخفضات الجوية المتحركة شرقاً فإنها تعمل على زيادة فاعلية الرياح الشمالية الغربية والتى تساعد على توليد الأمواج فى نفس الإتجاه بارتفاع يتجاوز 2 متر. (Omau,2003, p 3)

يتراوح ارتفاع الأمواج ما بين 0.4 - 0.9 متر فى فصل العواصف , وما بين 0.4 - 0.5 متر فى فصل الصيف , وإن كان التوزيع السنوى للنسب المئوية لإرتفاع الأمواج (أقل من 0.5 متر) يسود جميع الإتجاهات الغربية والشمالية الغربية والشمالية جدول رقم (3) .

جدول رقم (2) المتوسطات الشهرية للنسب المئوية لإتجاه هبوب الرياح بمحطة بلطيم خلال الفترة (1994-1975)

السكون	شمال	غرب	غرب	جنوب	جنوب	جنوب شرق	شرق	شمال شرق	شمال	الإتجاه الشهر
25.4	12.9	18.1	16.3	7.1	3.2	7.8	4.6	4.5	يناير	
22.2	13.9	22.1	9.7	4	4.7	10.1	7.4	5.8	فبراير	
15.7	18.2	21.5	5.7	4.5	4.8	10.1	9.7	9.7	مارس	
13	21.2	19	3	1.8	2.8	9.6	11.5	17.9	أبريل	
15.6	28.4	17.1	1.4	1	1.2	5.2	7.8	22	مايو	
11.5	41.6	23.9	0.9	0.6	0.7	1.6	3.9	15.1	يونية	
10.5	49.6	22.2	0.95	0.25	0.05	0.05	0.2	6.1	يولية	
12.8	47.5	31.7	1.25	0.4	0.1	0.2	0.4	5.5	أغسطس	
21.1	39.8	18.6	0.85	0.4	0.3	0.8	2.9	15	سبتمبر	
30.5	21.6	12.6	3.7	1.5	1.3	3.2	6.5	19	أكتوبر	
31.6	18.7	13.7	8.2	3.6	1	2.2	7.3	13.5	نوفمبر	
26.1	13	16.1	17.5	6	3.6	5.1	6.8	5.4	ديسمبر	
19.7	23.2	19.7	5.8	2.6	2	4.7	5.8	11.6	المتوسط السنوي	

المصدر : من عمل الباحثة إعتماداً على :

Egypt , Meteorological Authority climatological averages of some - element occurrence of some phenomena and wind rosa for station Balteem,
period 1975- 1994

شكل رقم (4) المتوسطات الشهرية للنسب المئوية لإتجاه هبوب الرياح بمحطة بلطيم خلال الفترة (1994-1975)

المصدر : من عمل الباحث إعتماداً على بيانات الجدول رقم (2)

تتراوح حدة الموجة خلال فصل الشتاء فيما بين 0.086 - 0.111 متر بمتوسط 0.044 متر بينما تراوحت حدة الموجة خلال الصيف فيما بين 0.028 - 0.056 متر. (جدول 3) ، أما فى فصل الصيف (يولية - أكتوبر) تترواح سرعة الموجة فيما بين 3.3 - 5.9 متر / ثانية بمتوسط 3.52 متر / ثانية ، وبلغ متوسط طولها 54.2 متر . وتتراوحت مدة الموجة بين 8.2 - 8.8 متر / ثانية بمتوسط بلغ 9.53 متر / ثانية كنتيجة لإنخفاض سرعتها وإزدياد طولها.

يتضح من دراسة الجدول رقم (4) والشكل رقم (6) أن 94 % من الأمواج يقل إرتفاعها عن 1 متر ، يمثل الإتجاه غرب الشمال الغربى 40 % منها ، الشمال الغربى 22 % ، والغرب وشمال الشمال الغربى والشمال 16 % ، كل منها على التوالى ، أما الأمواج التى يتراوح إرتفاعها بين 1-2 متر فقد بلغت 20 % ويمثلها الإتجاه غرب الشمال الغربى والغرب والشمال الغربى حيث بلغت 12 % ، كل منها على التوالى ، ومما لا شك فيه أن هناك علاقة عكسية فيما بين متغيرى طول الموجة وسرعتها، إذ كلما زادت سرعة الموجة إنخفض طولها ، ففى فصل الشتاء (نوفمبر - ديسمبر) تترواح سرعة الموجة فيما بين 4.24 - 5.83 متر / ثانية ، وبلغ متوسط طولها 41.2 متر . وتتراوحت مدة الموجة بين 7 - 13 م / ثانية بمتوسط بلغ 9.88 متر / ثانية كنتيجة لإزدياد سرعتها وإنخفاض طولها .

جدول (3) بيانات الأمواج الشهرية والفصلية بمنطقة الدراسة خلال الفترة 2010-2012

متوسط طاقة الموجة	حدة الموجة (إرتفاع الموجة/ طول الموجة)	مدة الموجة (م/ثانية)	متوسط سرعة الموجة(م / ثانية)	طول الموجة (م)	متوسط الإرتفاع للموجة (م)	أقصى إرتفاع للموجة (م)	المتغير	
							الشهر	السنة
٠٠١٢٣	0.016781652	8.2	3.37	53.63	.4	0.9	اغسطس	2010
٠٠٣٥٧	0.03596	8.8	3.68	50.05	.5	1.8	سبتمبر	2010
٠٠٥٥٢	0.03513	13.6	4.295	42.69	.4	1.5	نوفمبر	2010
٠٠٥٦٩	0.08374242	11	5.33	34.63	.7	2.9	ديسمبر	2010
٠٠٣٤٥	0.174927114	11.6	4.915	34.3	.9	6	يناير	2011

٠٠٢٠٤	0.044247788	10.4	3.805	40.68	.4	1.8	مايو 2011
٠٠٣٦٣	0.040520007	9	3.66	59.23	.7	2.4	يونية 2011
٠٠٣٨٩	0.027361983	8.2	2.895	62.13	.5	1.7	اغسطس 2011
٠٠٣٤٤	0.042100598	8.8	5.28	45.13	.3	1.9	نوفمبر 2011
٠٠٤٠٧	0.011460005	7	5.83	43.63	.2	0.5	ديسمبر 2011
٠٠٤٥٧	0.08688 5691	13	5.915	36.83	.6	3.2	يناير 2012
٠٠٤٣٢	0.111358575	10	5.3	31.43	.7	3.5	فبراير 2012
٠٠٣٧٥	0.03253355	10.6	4.24	49.18	.5	1.6	مارس 2012
٠٠٣٨٩	0.033563304	10.6	4.145	53.63	.5	1.8	ابريل 2012
٠٠٣٤٧	0.02888921	9.9	3.89	69.23	.7	2	يونية 2012
٠٠٣٤٧	0.033621921	10.2	2.895	59.485	.8	2	يولية 2012
٠٠٤٨٨	0.152846771	13	5.5813	39.255	.5	6	شتاء
٠٠١١٨	0.037027917	10	3.4533	54.0133	.6	2	صيف
٠٠٣٢٣	0.033070713	10.3	4.1925	51.405	.4	1.7	ربيع

المصدر : معهد بحوث السواحل ، تقارير غير منشورة (2011/2010) والنسب المئوية من حسابات الباحث

شكل رقم (5) بعض متغيرات الأمواج الشهرية والفصوية بمنطقة الدراسة خلال الفترة 2010-2012

المصدر : من عمل الباحثة إعتماداً على بيانات الجدول رقم (3) .

ووفقاً لدراسة Quellenec and Manohar (1977) فإن أمواج العواصف بمنطقة الدراسة لديها القدرة على نقل رمال الشاطئ شرقاً بموازاة خط الساحل وإن كانت معدلات النقل القصوى (نحت شديد) كانت تمثل عند مواضع الرؤوس Promontories ، على حين كانت مواضع الخلجان Embayments خاضعة لأقل معدلات نقل (ترسيب) ، على الرغم من أن البعض يرى أن المشكلة الأساسية على طول الساحل الشمالي المصرى تكمن فى نقل الرمال الساحلية الناتجة عن الأمواج الضعيفة وفقاً لزاوية إلقاءها بخط الساحل Sharaf El (Din,1974.p183) .

تراوح متوسط طاقة الموجة * فيما وبلغ متوسط طول الموجة 41.2 متر . وترواحت مدة الموجة بين 7 - 13 م / ثانية بمتوسط بلغ 9.88 متر / ثانية كنتيجة لإزدياد سرعتها وإنخفاض طولها .

بمتوسط

ترواحت حدة الموجة خلال فصل الشتاء فيما بين 0.086r0.056r0 بينما تراوحت حدة الموجة خلال فصل الصيف فيما بين 0.044r0.028r0 (جدول رقم 3)

ويتفق ذلك مع ما توصل إليه إنمان وآخرون (Inman et al,1976) أن طاقة الأمواج القصوى المرتبطة بالعواصف شتاءً على طول سواحل منطقة الدراسة نتج عنها أن معدلات النقل القصوى شرقاً كانت عند مواضع البروز ، بينما ارتبطت مواضع الخلجان بمعدلات نقل أقل . على حين

- ٣١٠٢٠٧٣١٠١٨٣١٠٢٠٧ - أن طاقة أمواج فصل الصيف كانت متوسطة أو ضعيفة حيث تراوحت فيما بين ٣١٠٢٠٧٣١٠١٨٣١٠٢٠٧

الشاطئ على حين يسفر عن أمواج العواصف هدم ونحت الشواطئ وهذا يتفق مع ما توصل إليه علوانى وأخرون

(Elwany et al ,1988,p92)

يتوقع أن طاقة الموجة سوف يزداد بمنطقة الدراسة بواقع 20 % خلال فصل العواصف ، وينخفض إلى 1 % خلال فصل الصيف (Moheb.,2013,p43) مما يمكن معه توقع الآثار السلبية للأمواج شتاءً مع نحت الشواطئ وهدمها ، على حين بناءها صيفاً .

وما لا شك فيه أن إتجاه الأمواج المؤثرة في تشكيل مورفولوجية الساحل يعد حصيلة تضافر عوامل عديدة منها إتجاه الرياح السائدة وإتجاه خط الساحل المحلي ، بالإضافة إلى طبغرافية النطاق الساحلي ، ونوع رواسب الشاطئ ، ويتبين من دراسة الشكل رقم (1) أثر الأمواج على طول سواحل منطقة الدراسة يعد فصلياً ، حيث أن الإتجاه السائد للأمواج خلال فصل الشتاء بمنطقة الدراسة من الشمال الغربي ، شمال الشمال الغربي ، ويرتبط بها أمواج الهدم الناتجة عن العواصف الشديدة التي يمكن أن ينتج عنها إزالة سريعة لمواد الشاطئ من نطاق أعلى الشاطئ الأمامي The Upper foreshore العميق خارج نطاق تكسر الأمواج The break-Zone أو نقلها شرقاً بموازاة خط الساحل ، على حين يصل خط الساحل خلال فصل الصيف قدر محدود من الأمواج الشمالية شمالية غربية والشمالية الغربية مع قدر محدود من الشرقيات (شمال الشمال الشرقي والشمال الشرقي) نتيجة لهبوب الرياح الشرقية ويرتبط بها أمواج بناء Constructive Waves مما يؤدي لنقل الرواسب الساحلية شرقاً (Lotfy and Frihy , 1993,p658 .

ب - أثر التيارات البحرية :

مما لا شك فيه أن التيارات الساحلية تسهم في التأثير على الخصائص المورفولوجية لساحل منطقة الدراسة ، وتتجدد بفعل الأمواج التي تلاطم الشاطئ في نطاق زبد الأمواج Surf-Zone .

ويرى البعض أن الأمواج الشمالية شمالية غربية ، الشمالية الغربية ، غرب الشمال الغربي (68 %) هي المسؤولة عن تجدد هذه التيارات الساحلية المتحركة شرقاً (Frihy.and Deabes,2011,p40) ، على حين أن الأمواج التي تأتي من الإتجاه شمال الشمال الشرقي ، شمال شرق ، شرق الشمال الشرقي (11 %) لديها القدرة على توليد تيارات ساحلية عكسية يعتمد إتجاهها على إتجاه الموجة وطبغرافية القاع ، كما تنشأ بعض التيارات الساحلية بنطاق مكابر الأمواج The breaker zone بفعل الأمواج الناشئة عن حركة الرياح (Sharaf El Din. S.H, 1974,p183 .

يتضح من دراسة الجدول رقم (5) والشكل رقم (7) أن النسبة المئوية لحدوث التيارات الساحلية المتحركة شرقاً وغرباً بلغت نحو 73.7 % ، 26.3 % لكل منهما على التوالي ، كما تراوح متوسط سرعة التيار المتحرك شرقاً فيما بين 40 – 50 سم / ثانية ، على حين تراوح متوسط سرعة التيار المتحرك غرباً فيما بين 20 – 30 سم / ثانية ، وقد توصلت هيئة قناة السويس أن أقصى سرعة للتيار الساحلي بلغت 100 سم / ثانية بالقرب من بوغاز البرلس بمتوسط 35 سم / ثانية (Hilaly, 1971 ,p 56) ، وتنقق هذه النتائج مع نتائج تحليل التيار الساحلي لساحل البرلس التي أجريت خلال 1980 – 1989 بواسطة فانوس وخاجي (Fanos s.A . M and Khafagy A.A.1990). يعزى البعض السرعات المرتفعة للتياارات الساحلية إلى فصل الشتاء نتيجة لأمواج العواصف مما نتج عنه نقل كميات كبيرة من الرواسب شرقاً تصل 100000 م 3 / سنة (Elbisy and Ghulmam,2011,p34 .

أشارت بعض الدراسات إلى أن التيارات الساحلية لديها القدرة على الدفع الشرقي للرواسب بمنطقة

الدراسة بواقع ١.٣٣ م / سنة وذلك على عمق يصل إلى ٣٥ متر (Fishawy,1994,p41)

و هناك بعض التجارب التي أجريت لدراسة أثر التيارات البحرية على دفع و تحريك الرواسب في نطاق مكسر الأمواج بمنطقة البرج على طول شاطئ بلطيم بالقرب من بوغاز البرلس في عام 1970 من خلال تغطيس 375 كجم من الرمال الخشنة ، 375 كجم من الرمال الناعمة المغطاة بمسحوق الفلورسنت على عمق 0.75 متر فإذاً يوضح أن التيارات الساحلية لديها القدرة على تحريك طبقة إربابية يصل سمكها 9 سم على عمق 0.3 متر ، أما حركة الرمال على عمق 0.3 متر كان ينتج فقط بفعل الأمواج الناشئة عن حركة الرياح (Zenkovitc,1971,p19) .

جدول رقم (4) المتوسط السنوي للنسبة المئوية لإرتفاع الأمواج خلال الفترة 2010 - 2011
بمنطقة الدراسة (%)

أكبر من 2 متر	1.5 - 2 متر	1.5 - 1 متر	1 - 0.5 متر	أقل من 0.5 متر	الارتفاع	
					الاتجاه	
0	2	10	20	20	غرب الشمال الغربي	
0	0	3	7	9	غرب	
0	0	0	0	2	غرب الجنوب الغربي	
2	2	3	10	12	شمال غرب	
0	0	0	2	7	شمال الشمال الغربي	
0	0	0	0	3	شمال	
0	0	0	0	2	شمال الشمال الشرقي	

شكل رقم (6) المتوسط السنوي للنسبة المئوية لإرتفاع الأمواج خلال الفترة 2010 - 2011
بمنطقة الدراسة (%)

المصدر : من عمل الباحثة إعتماداً على بيانات الجدول رقم (4)

جدول رقم (٥) المتوسط الفصلي والسنوي للنسب المئوية لحدوث التيارات البحرية في فصل الصيف خلال الفترة ٢٠١٠ / ٢٠١١ بمنطقة الدراسة (%)

الاتجاه السرعة (متر/ الثانية)	الفصل																
	شمال الشمال الغربي	شمال غرب	غرب الشمال الغربي	غرب	غرب الجنوب الغربي	جنوب غرب	جنوب الجنوب الغربي	جنوب الشرقى	جنوب الجنوب الشرقى	شرق الشرقى	شرق شمال الشمال الشرقي	شمال شرق	شمال شمال الشمال الشرقي	شمال شمال الشمال الشرقي	شمال شمال الشمال الشرقي		
صفر - ١٠	١.٨	٤	١٢	٦	٦	٢٥	١	١	١	١	٣	٨	٢٢	١٣	١.٨	١٠	
فصل الصيف	٢	٥	١٧	٧	٩	٣١	٠	٠	٠	٢	٨	١٧	٣٢	٠	٢	٢٠-١٠	
	٠	٠	١٨	٠	٠	٠	٠	٠	٤	١٦	١٩	٥	٠	٠	٠	٣٠-٢٠	
	٠	٠	٠	٠	٠	٠	٠	٠	٠	٢١	٠	٠	٠	٠	٠	٤٠-٣٠	
	٠	٠	٠	٠	٠	٠	٠	٠	٠	٢٢	٠	٠	٠	٠	٠	٥٠-٤٠	
	٤	٣	٤	٨	٤	٣	٣	٢	٢	١٥	٢	٥.٨	٥.٨	٥.٨	٤	٤	١٠
فصل الشتاء	٥	٤	٨	١٣	٨	٤	٤	٠	٠	٢	٣	٩	٨	١٠	٥.١	٤.٥	٢٠-١٠
	٠	٥	٩	١٤	٩	٠	٠	٠	٠	٠	١١	١١	١٢	٠	٠	٠	٣٠-٢٠
	٠	٠	٠	٠	٠	٠	٠	٠	٠	٠	١٢	١٢	١٣	٠	٠	٠	٤٠-٣٠
	٠	٠	٠	٠	٠	٠	٠	٠	٠	٠	١٣	٠	٠	٠	٠	٠	٥٠-٤٠
	٣	٣	٤	٧	٨	٤	٣	٢	١	١	٢	٢	٥	٥	٤	٣	٣
المتوسط السنوي	٤	٤	٥	١٢	١٣	٩	٤	٣	٠	٠	٣	٣	٨	٩	٦	٤	٤
	٠	٠	٠	١٣	١٤	١٠	٠	٠	٠	٠	٤	١٢	١٢	٧	٠	٠	٠
	٠	٠	٠	٠	٠	٠	٠	٠	٠	٠	١٣	١٤	٠	٠	٠	٠	٠
	٠	٠	٠	٠	٠	٠	٠	٠	٠	٠	١١	٠	٠	٠	٠	٠	٠
	٠	٠	٠	٠	٠	٠	٠	٠	٠	٠	٠	٠	٠	٠	٠	٠	٠

المصدر : معهد بحوث السواحل ، تقارير غير منشورة (٢٠١٠ / ٢٠١١) والنسب المئوية من حسابات الباحثة

شكل رقم (7) المتوسط الفصلى والسنوى للنسب المئوية لحدوث التيارات البحرية خلال فصل الصيف والشتاء خلال الفترة 2010 / 2011 بمنطقة الدراسة (%)
المصدر : من حسابات الباحث اعتماداً على بيانات الجدول رقم (5)

كما أن الدراسة التى أجرتها (El Gindy,et al 1984,p5) أظهرت أن التيارات الساحلية خلف نطاق تكسر الأمواج بمنطقة الدراسة كانت إنتشارية Circulation ذو نمط دوامى مع سرعة عالية تصل إلى 20-30 لفة / ثانية فى مقدمة البرلس وعند المصبات Outlets , وترواحت سرعة التيار بالمياه الضحلة بالرف القارى خلف نطاق تكسر الأمواج بين 3 - 47 سم / ثانية .

ج- أثر المد والجزر :Tide Action

ترواح معدل المد والجزر بساحل دلتا النيل بين 30 - 40 سم ، على حين بلغ بسواحل منطقة الدراسة 50 سم (Kevin and El Asmar 1999,p94) . تعد طاقة التيارات المدية ذات أثر فعال فى دفع الرواسب نحو الشاطئ خلال فصل العواصف مما نتج عنه نحت ساحلى بالشاطئ الخلفى أو بأقدام الكثبان الرملية (صورة رقم 3,4)

(صورة رقم 4,3) نحت الأمواج لأقدام الكثبان بمنطقة جمصة

كما تؤدى حركة التيارات المدية بالسواحل المنخفضة إلى تكوين جداول مدية Tidal Runnels تنتج عن نحت التيارات المدية خلال عملية إرتفاع وإنخفاض منسوب مياه المد والجزر .

خامساً : التغيرات الساحلية :

تعد تغيرات خط الساحل ذات أهمية كبيرة لإدارة النطاق الساحلى من أجل مشروعات التنمية المستقبلية .

هناك العديد من الدراسات التى عنىت بدراسة التغيرات لخط ساحل منطقة الدراسة من خلال تحليل الخرائط التاريخية (Manohar,1976 , Frihy et al.,1988 ,Sestini,1976 ,Frihy et al.,1988 ,Klemas and Abdel Kader,1982 ,Khafagy ,Blodge et al ,1991 , Smith and Abdel Kader,1988 Naffaa et al 1991 ,Elwany et al , 1988 ,and Manohar , 1979 (El – Askary and Lotfy , 1980 , Frihy et al ,1991 ,

وقد أظهرت هذه الدراسات أن ساحل منطقة الدراسة كان يتسم بالتوافز نظراً لتغذية النطاق الساحلى بالرواسب النيلية المتصرفة فى موسم الفيضان ، ولكن منذ بداية القرن العشرين حيث تم بناء تسع قناطر على طول مجرى نهر النيل فقد تعرض النطاق الساحلى لإنخفاض كمية الرواسب النهرية المتصرفة ، إلى أن أقيم السد العالى بأسوان عام 1964 حيث قام بحجز كل رواسب الفيضان فى حوض

تخزينه مما أنذر بخطورة مشكلة النحت وما يرتبط بها من تهديد قوى للمدن الساحلية والحواجز الرملية التي تقفل البحيرات الساحلية عن ساحل البحر المتوسط.

ومما لا شك فيه أن الإنخفاض في كميات الرواسب النهرية التي كانت تغذي النطاق الساحلي (120 ألف طن / سنة) قد نتج عنه تغير الموازنة الإرسبائية Sediment budget , فمواضع الترسيب الساحلي تعرضت الآن لعمليات نحت eroded من خلال الأمواج الشمالية والشمالية الغربية السائدة , كما أن التيارات الساحلية المتداولة شرقاً تقوم بتصنيف وإعادة ترسيب لنواتج النحت الحديثة في إتجاهها (Blodge et al , 1989 , p110) , كما أن نمط الموجة Wave pattern يبدو أنه لعب دوراً مهماً في التوزيع الجغرافي لمواقع الإرسب , حيث أنه يمكن أن ينتج عن إرتداد الموجة تيار ساحلي محلي يندفع في الإتجاه المعاكس لإتجاه التيار الساحلي السائد من الغرب إلى الشرق مما يؤدي إلى ترسيب في جزء من الساحل كنتيجة لصطدام التيارين الساحليين في الإتجاهين المعاكسيين (Zaghoul et al 1984 , p27).

بعد بناء السد العالي عام 1964 بأسوان أصبح نهر النيل مصدرًا ثانوياً للرواسب بالمنطقة , وأصبح الساحل في الوقت الحالي يمثل ساحل نحتي (Inman et al., 1976,p 243) .

وتتجدر الإشارة إلى أن رأس البرلس تعزو من حيث النشأة إلى الفرع النيلي السبنيتي , وعندما تعرض هذا الفرع للإندثار تعرض ساحل البرلس للنحت بفعل العمليات الساحلية منذ ما يقرب من 2000 عاماً قبل الميلاد (Stanley,1991, p46) , وترتب على مشكلات النحت هدم وتدمير قرية البرلس مما أدى لنقلها للداخل ثلاث مرات خلال 70 سنة (Orlova and Zenkovich , 1974 , p 71) .

قد أجريت بعض الدراسات التي عنيت بتغيرات خط ساحل دلتا النيل من خلال مقارنة مجموعتان من الصور الجوية لعامي 1055 ، 1983 لقطاع البرلس – بطريق واضح أن هذا القطاع تعرض للتراجع والنحت بواقع 250 متر خلال 28 سنة أي 9 متر / سنة (Frihy , 1988,p 602) لدى تقنية الإستشعار عن بعد القدرة على فصل العناصر المكونة للغطاء الأرضي مقارنة بالطرق التقليدية في برامج نظم المعلومات الجغرافية (محمد الخزامي عزيز ، 2004ص ص 72) فقد أجرت الدراسة الحالية تحليلًا لثلاث مركبات فضائية الأولى لعام 1972(4 حيوز) , والثانية لعام 1984 , أما الثالثة لعام 2002 (9 حيوز) (وجميعها بدرجة وضوح 30 متر, وقد تم تحليل هذه المركبات من خلال برنامج Arc Map v.10. (شكل رقم8) ويبيّن الجدولين أرقام (6 , 7) التغيرات الساحلية خلال هذه الأعوام.

ويوضح أن متوسط تراجع خط الساحل خلال الفترة 72 – 1984 بلغ 211 متر خلال 12 سنة أي بواقع 17.7 متر / سنة , وبلغت المساحة التي تم تأكلها نتيجة تراجع خط الساحل خلال نفس الفترة نحو 3.65 كم²(30. كم²/ سنة) , أما خلال الفترة 1984 – 2002 فقد بلغ متوسط تراجع خط الساحل نحو 218.3 متر خلال 18 سنة أي بواقع 12.1 متر / سنة , وبلغت المساحة التي تم تأكلها نتيجة تراجع خط الساحل خلال هذه الفترة نحو 3.62 كم²(20.0 كم²/ سنة) , مما يعني أن هناك إتجاه عام نحو مواجهة مشكلة تراجع خط الساحل خلال الفترتين المدروستين , وإن كان المتوسط العام لتراجع خط الساحل خلال الفترة 1972 – 2002 (30 سنة) بلغ 444 متر أي بواقع 14.85 متر / سنة , وبلغ إجمالي المساحة التي تم تأكلها نتيجة تراجع خط الساحل خلال هذه الفترة 7.27 كم²(24.0 كم²/ سنة) .

شكل رقم (8) تغيرات خط الساحل خلال الفترة 1972 – 2002 بمنطقة الدراسة

المصدر: من اعداد الباحث اعتماداً على برنامج Erdas Imagine v.9.2

جدول رقم (6) تراجع خط الساحل خلال الفترة 1972-2002(متر)

2002 -1972					2002 -1984				1984-1972							
المتوسط	الشرق	الجنوب	الوسط	الغرب	المتوسط	الشرق	الجنوب	الوسط	الغرب	المتوسط	الشرق	الجنوب	الوسط	الغرب		
14.8=30/444	365	573	394	12.1=18/218.3	50	337	268	17.7=12/211	275	212	146					

المصدر : من اعداد الباحث اعتماداً على بيانات الشكل رقم (6)

جدول رقم (7) إجمالي المساحات التي تم تأكلها نتيجة تراجع خط الساحل (كم 2)

2002 -1972				2002 -1984				1984-1972			
الشرق	الجنوب	الوسط	الغرب	الشرق	الجنوب	الوسط	الغرب	الشرق	الجنوب	الوسط	الغرب
.27	.35	.82	.1	.62	.46	.04	.7	.65	.89	.36	.40

ويتضح من دراسة كل من الجدولين السابقين (6 , 7) أن معدلات تراجع خط الساحل بالأجزاء الشرقية والوسطى من منطقة الدراسة قد تزايدت خلال الفترة المدروستين ، إذ بلغت 54.4 % بالأطراف الشرقية ، 62.9 % بالأطراف الوسطى ، على حين إنخفضت معدلات تراجع الساحل بالأطراف الغربية من المنطقة بواقع 55.3 % إلى 55.0 % مرتين خلال الفترة المدروسة ، وتوافقت هذه الزيادة مع المساحات التي تم تأكلها نتيجة تراجع خط الساحل إذ بلغت 57.1 % بالأطراف الشرقية ، 410.8 % بالأطراف الوسطى ، أما الأطراف الغربية فقد إنخفضت بواقع 4.66 كم 2 مرات .

وفى محاولة لمقارنة النتائج السابقة بالنتائج التي يمكن التوصل إليها من خلال تحليل المرئيات الفضائية الثلاثة للأعوام 1972 , 1984 , 2002 بإستخدام أمر تحديد التغيرات Change Detection فى برنامج Erdas Imagine v.9.2 (شكل رقم 9) والجدول رقم (8) فقد يتضح أن إجمالي المساحة التي تم تأكلها نتيجة تراجع خط الساحل خلال الفترة 1972 – 1984 قد بلغ 4.66 كم

بواقع 390 متر / سنة ، وإنخفض إلى 1.3 كم 2 بواقع 070 كم 2 / سنة خلال الفترة 1984 – 2002 ، وبلغ إجمالي المساحة التي تم تأكلها خلال 1972-2002 (30 سنة) نحو 3.83 كم 2 بواقع 130 كم 2 / سنة .

تلى ذلك إستخراج المتوسط العام بين الطريقتين (Arc Map10 & Erdas Imagine) v.9.2 حيث بلغ متوسط إجمالي المساحة التي تم تأكلها نتيجة تراجع خط الساحل خلال 1984- 1972 فقد بلغ 345 كم 2 / سنة ، على حين بلغ 125 كم 2 / سنة خلال الفترة 1984 – 2002 بمتوسط بلغ 185 كم 2 / سنة خلال ثلاثون عاماً (1972-2002) ، ويرجع هذا لتراجع النيل من الصراع بعد الضبط الهندسى لمياهه وحرمان الشواطئ من حمولته وتقلص دور الرياح فى بناء خطوط دفاع مماثلة فى الكثبان الرملية بسبب ضيق الشاطئ الخلفى ، حيث أصبحت شواطئ الدلتا عاجزة عن الصمود أمام الغزو البحرى بعد أن فقدت مقومات التوازن (حمدين عبد القادر، 2007، ص 1، 2) .

جدول رقم (8) إجمالي المساحات التي تم تأكلها نتيجة تراجع خط الساحل (كم 2)

باستخدام أمر التغيرات فى برنامج Erdas Imagine v.9.2

2002 -1972	-1984 2002	-1972 1984
نحو	نحو	نحو
٣.	٣.	٣.
1.1	3.83	.930

2002 -1972	-1984 2002	-1972 1984
نحو	نحو	نحو
٣.	٣.	٣.
1.3077	0.11	.66

وفي سياق تقدير التغيرات الزمنية والمكانية لخط الشاطئ بفعل الأمواج في أعوام تالية تم تحليل قطاعات الشاطئ التي تم مسحها خلال الفترة (2010/10/12 – 2011/5/11) على طول 25 كم من منطقة الدراسة (شكل رقم 10) وقد يتضح أن شاطئ منطقة الدراسة ينقسم إلى نطاقين تعرضا للنحو أحدهما شرقى يمتد من مصرف كتشنر لمسافة 3.9 كم ، والأخر أوسط ممثلاً لشاطئ بلطيم يمتد لنحو 8 كم، ويمثل هذين النطاقين 56.64 % من ساحل منطقة الدراسة ، على حين ظهر النطاق الغربى ممثلاً لحالة من الترسيب أو التوازن على طول مسافة بلغت 13 كم (43.36 %) من المنطقة المدروسة .

، وتوافقت هذه النتائج مع ما تم التوصل إليه آنفا عند دراسة تحليل المرئيات الفضائية سالفة ذكر.

شكل رقم (9) إجمالي المساحات التى تم تأكلها وإرسابها بخط الساحل (كم2) من ال change detection

شكل رقم (10) قطاعات شاطئ منطقة الدراسة

المصدر : من عمل الباحث من واقع الدراسة الميدانية

سادساً- خصائص رواسب الشاطئ :

1 - حجم حبيبات رمال الشاطئ

2 - التركيب المعدني لتكوينات الشاطئ

1 - حجم حبيبات رمال الشاطئ :

يتضح من دراسة الجدول رقم (9) والشكل رقم (11) أن شواطئ منطقة الدراسة تتالف أساساً من رمال خشنة جداً إلى ناعمة جداً، حيث بلغ متوسط نسبة الرمال الخشنة جداً والخشنة نحو 80% ، لكل منها على التوالي ، على حين بلغ متوسط نسبة الرمال المتوسطة والناعمة والناعمة جداً والسلت نحو 24.2% ، 57.99% ، 9.47% لكل منها على التوالي .

وبمقارنة كل من شواطئ النحت بشواطئ الإرسباب يتضح أن شواطئ النحت غنية بصورة خاصة بالرمال الناعمة والناعمة جداً حيث يشكل كل منها نحو 82.27% من جملة أحجام الحبيبات الرملية ، على حين تبدو شواطئ الإرسباب غنية بالرمال الناعمة والمتوسطة ، إذ يشكل كل منها نحو 82.62% من جملة أحجام الحبيبات الرملية ، لذلك فإن قطاعات شواطئ النحت تتجه للرواسب الناعمة ، على حين تتجه قطاعات شواطئ الإرسباب للرواسب الخشنة ، وهذه النتائج تتفق مع النتائج التي توصل إليها (Badr and Sedick.2001,p74) .

ويتضح من دراسة المنحنيات التراكمية للتحليل الميكانيكي لرواسب شواطئ النحت أن أحجام الرواسب المنحوتة تراوحت فيما بين 2-3 Ø (رمال ناعمة) ، على حين تراوحت أحجام رمال شواطئ الإرسباب فيما بين 1-2 Ø-3 Ø (رمال متوسطة وناعمة) (شكل رقم 12) .

تجدر الإشارة إلى أنه قد تم تطبيق بعض المعاملات الإحصائية للمساهمة في تفسير نشاط العمليات الجيومورفولوجية المختلفة على رواسب الشاطئ (جدول رقم 9) وذلك باستخدام معادلة كل من فولك وورد (Folk and Ward,1957,pp3-26) على النحو التالي :

أ - متوسط حجم الحبيبة :

يتضح من دراسة الجدول (9) أن القيم تراوحت فيما بين 1.48 Ø- 2.97 Ø بمتوسط 1.88 Ø (رمال خشنة) في شواطئ النحت ، بينما تراوحت فيما بين 40 Ø-1.40 Ø-1.58 Ø بمتوسط 1.67 Ø (رمال متوسطة) مما يعني أن شواطئ النحت تكون غنية بالرواسب ذات الحبيبات الخشنة ، على حين تميزت شواطئ الإرسباب بالرواسب ذات الحبيبات الناعمة وتتفق هذه النتائج مع ما توصلت إليه دراسة كل من بدر وصديق (Badr abd Sedick.2001,p78) .

وفي الحقيقة هناك بعض الدراسات التي اهتمت بدراسة العلاقة فيما بين حجم الحبيبة وطاقة الموجة

(Frihy et al,2003,p270) ، حيث يستنتج أن حجم الحبيبة يزداد مع إزدياد طاقة الموجة ، كما أن كثافة الحبيبة يمثل عامل مهم جداً في التوزيع الجغرافي لإنماط النحت والترسيب الساحلي فالحبيبات

الرملية الناعمة والناعمة جداً والتى تتألف من معادن ثقيلة تكون ذات كثافة عالية ، على حين أن الحبيبات الخشنة والخشنة جداً تتألف من معادن منخفضة الكثافة ومن ثم يسهل نحتها من شواطئ النحت ثم نقلاها للشاطئ القريب nearshore على طول خط الساحل تاركة الرواسب الناعمة كرواسب متخلفة Lag deposits ، وقد إفترض طه (Taha, 2012, p67) أن خشونة الرمال لم تكن مرتبطة بخصائص الموجة ولكنها يمكن أن تكون مرتبطة برواسب تختلف من فروع النيل القديمة ربما كان الكانوبى Canopic والسياتى Saitic، والسبينيتى Sebennitic.

ب - الإنحراف المعياري :

تراوحت قيم الإنحراف المعياري فى شواطئ النحت فيما بين 0.24- 0.27 بمتوسط 0.25 (تصنيف جيد جداً) ، على حين تراوحت القيم فى شواطئ الإرساب فيما بين 0.35- 0.42 بمتوسط 0.39 (تصنيف جيد) (جدول 9) ، مما يعنى أن أنماط تصنيف الحبيبة فى الشاطئ الأمامى بمنطقة الدراسة تأثرت بشدة بالأثر الديناميكى لطبقات متباعدة (الأمواج والتيارات البحرية) والتى ترتبط بدورها بإتجاه خط الساحل ، حيث يتضح كما كان متوقعاً أن الحبيبات الأخفن تراكمت فى المواقع حيث تزايدت معدلات النحت ، على حين تركزت الحبيبات الأنفع فى المواقع حيث تزايدت معدلات الإرساب.

وعلى إية حال فإن إزدياد أو إنخفاض تصنيف مواد شواطئ النحت أو الإرساب بمنطقة الدراسة يمكن أن يمثل دليلاً على أن شاطئ منطقة الدراسة يستقبل مواده من مصادر مختلفة يمكن أن تتمثل فى الشاطئ نفسه أو رواسب جلبتها فروع نهر النيل القديمة .

ج- معامل الإلتواء :

تراوحت قيم الإلتواء فى شواطئ النحت فيما بين 0.03- 0.17 بمتوسط 0.13 ، بينما تراوحت القيم فى شواطئ الإرساب فيما بين 0.18- 0.43 بمتوسط 0.20 (جدول 9) ، مما يشير إلى إلتواء متقارب التماثل والإلتواء سالب وهذا يمكن أن يكون ناتج عن خلط الرواسب الناجمة عن بحثتين أحدهما نهرية (المياه العذبة) والأخرى ساحلية (الأمواج) ، مما يؤكّد أن هذه الرواسب ترجع لمصادر متعددة (Senapath .et al, 2011, p646).

د - معامل التفرطح :

تراوحت قيم التفرطح فى شواطئ النحت فيما بين 1.09- 1.75 بمتوسط 1.4 ، على حين تراوحت فى شواطئ الإرساب فيما بين 0.58- 0.89 بمتوسط 0.89 مما يشير إلى تفرطح مرتفع Leptokurtic ، نتج عن أن الرواسب الناعمة بالشاطئ تعكس حالة مدخلات عالية من الرواسب التي يمكن أن يصرفها نهر النيل عند رشيد ثم يتولى التيار الساحلى نقلها وتوزيعها .

من الملاحظ أن حجم الحبيبة يتجه للإنخفاض عندما تصبح الرواسب جيدة التصنيف سالبة للإلتواء مما يتوقع معه أنها ذات أصل نهرى ، كما يتضح أن هناك علاقة عكسية فيما بين كل من الإلتواء وإنحراف المعياري ويرجح بأن هذا ينتج عن أثر التيارات الساحلية ، أما العلاقة بين

الإنحراف المعياري والتفلطح تبين من خلالها أن معظم العينات كانت عالية التقرط وذات تصنيف متوسط وذلك لسيطرة الرواسب متوسطة الحجم .

أما العلاقة فيما بين الإلتواء والتفلطح فإنها توضح أن معظم العينات كانت عالية التفلطح وذات إلتواء سالب.

جدول رقم (٩) النسبة المئوية لأوزان أحجام الحبيبات الرملية وبعض المعاملات الإحصائية لها بشواطئ النحت والإرسباب بمنطقة الدراسة

معامل التقطيع Ø	معامل الإنتواء Ø	الإنحراف المعياري Ø	متوسط الحجم Ø	الوزن %								نوع الشاطئ	رقم العينة
				سلت وطين ر- ٠٦٣ ١٢٥	رمل ناعم جداً ٠٠٢٥ ٠٢٥	رمل ناعم ٠٠٢٥ ٠٢٥	رمل متوسط ١٠٥ ١٠٥	رمل خشن ٢-١ ٢-١	رمل خشن جداً ٢ مم ٢ مم				
				Ø > ٤	Ø ٤:٣	Ø ٣:٢	Ø ٢:١						
١.٩	٠.١٥-	٠.٢٤	١.٩٣	٠.٤٢	١٢.٥	٦٨.٧٤	١٥.٠٨	٣.٤٥	٠.٢٦	١	شواطئ النحت	المتوسط	
١.٣٢	٠.١٧-	٠.٢٥	١.٥٣	٠.٤١	١٤.٢٥	٦٨.٩٤	١٣.١٩	٢.٩٦	٠.٢٥	٢			
١.٤٧	٠.٠٣٥-	٠.٢٥	١.٥	٠.٤٤	١٥.٨	٦٧.٤٩	١٢.٨٥	٣.١	٠.٣٢	٣			
١.٣٩	٠.١٤-	٠.٢٧	٢.٩٧	٠.٥١	١٤.٦٦	٦٦.٧٦	١٤.٧١	٣.٠٢	٠.٢٤	٤			
١.٧٥	٠.١٦-	٠.٢٤	١.٤٨	٠.٣٩	١٦.٦٢	٦٦.٠١	١٥.٤٩	٤.٨٢	٠.٦٧	٥			
١.٤	٠.١٣-	٠.٢٥	١.٨٨	٠.٤٣٤	١٤.٦٧٦	٦٢.٥٩	١٤.٢٦	٣.٤٦	٠.٣٤٨	٦			
٠.٥٨	٠.٣٩-	٠.٣٥	١.١٨	١.١	٦.٣٢	٥٧.٤٣	٢٧.٤٣	٦.٤٤	١.٢٨	٧			
٠.٨٦	٠.٤٣-	٠.٣٧	١.٥٨	٠.٨	٤.٨٩	٥٢.٩٨	٣١.٥٨	٨.٩٩	٠.٧٦	٨			
٠.٨٩	٠.١٦-	٠.٤	١.٤٣	٠.٨٢	٣.٣٢	٤٣.٨١	٣٨.٣	١٢.٤٥	١.٣	٩			
٠.٨٩	٠.٢٩-	٠.٤١	١.٤٥	١.١	٣.٣٥	٤٣.٦١	٣٧.٧٢	١٢.٨٧	١.٦٤	١٠			
٠.٨٥	٠.١٨-	٠.٤٢	١.٤	١.٢٧	٣.٤٥	٤٤.١١	٣٦.١	١٣.٠٦	٢.٠١		المتوسط العام	المتوسط	
١.١٣٥٤٥	٠.٢٠٣٢	٠.٣١٤	١.٦٧	١.٠١٨	٤.٢٦٦	٤٨.٣٩	٣٤.٢٣	١٠.٧٦٢	١.٣٩٨				
١.٢٦٧٧٢٥	-	-	-	-	-	-	-	-	-				
	٠.١٦٦٦	٠.٢٨٢	١.٧٧٥	٠.٧٢٦	٩.٤٧١	٥٧.٩٩	٢٤.٢٤٥	٧.١١١	٠.٨٧٣				

شكل رقم (11) النسبة المئوية لإحجام الحبيبات الرملية بشواطئ النحت والإرساب بمنطقة الدراسة

المصدر : من عمل الباحثة إعتماداً على بيانات الجدول رقم (9)

شكل رقم (12) المنحنيات التراكمية للتحليل الميكانيكي لرواسب شواطئ النحت والإرساب
بمنطقة الدراسة

المصدر : من عمل الباحثة إعتماداً على بيانات الجدول رقم (9)

2- التركيب المعدنى لتكوينات الشاطئ :

أشارت بعض الدراسات إلى أهمية التوزيع الإقليمي للمعادن الثقيلة في تقييم الظروف الهيدروديناميكية وحدود مواضع الترسيب بشواطئ الدلتا ، كما أن أنماط توزيع المعادن الثقيلة يوفر دليلاً إضافياً على قدرة مجرى الفرع السبئي القديم على تشكيل رأس السبئي الباقي وبروز bulge البرلس الممثل الآن في وسط الدلتا (Frihy, 2007, p71) ، تمثل أيضاً دراسة المعادن الثقيلة أداة مهمة في التعرف على نشأة وخصائص شواطئ النحت والإرساب ، إذ أن حبيبات المعادن الثقيلة ذات الكثافة المرتفعة والحجم الناعم يكون من الصعب نقلها بفعل تيار الموجة wave-current ومن ثم تتجه للبقاء عند مصادرها الأصلية وتتركز في نطاق شاطئ النحت Erosion beach ، على حين أن المعادن الثقيلة ذات الكثافة المنخفضة والحجم الخشن يتم إنقاذهما بالأمواج والتيارات البحرية ليتم إرتابتها في نطاق شاطئ الإرساب beach (El-Gamal and Saleh ,2012, p42) accretion

تجدر الإشارة إلى أنه تم دراسة 18 عينة(شكل 2) من جبهة الشاطئ تم تجميعها من الشواطئ المدروسة وتحليلها وفصلها كما سبقت الإشارة بمعامل الهيئة المصرية العامة للمساحة الجيولوجية (الجدول رقم (10) والشكل رقم (13) .

جدول رقم (10) نتائج تحليل المعادن الثقيلة لعينات رواسب الشاطئ بمواضع

النحت والإرساب بمنطقة الدراسة (%)

المعادن الثقيلة	النحت	مواضع الإرساب
المعادن المعتمة	42	19
أوجيت	19	36
هورنباند	11	18
أبيدوت	8	14

5	8	جارنت
4	5	زيركون
2	3	تورمالين
1	2	روتيل
1	2	مونازيت
100	100	الإجمالي

شكل رقم (13) نتائج تحليل المعادن الثقيلة لعينات رواسب الشاطئ بمواضع النحت والإرساب بمنطقة الدراسة (%)

وأعتماداً على دراسة فريحي (Frihy,2007,p59) يمكننا تقسيم مجموعة المعادن الثقيلة في تكوينات الشاطئ بمنطقة الدراسة إلى مجموعتين رئيسيتين (جدول 10) ، تتمثل المجموعة الأولى في المعادن ذات الكثافة المرتفعة (5-4 جرام / سـم 3) وتتضمن كل من الجارنت والزيركون والتورمالين والروتيل والمونازيت ، أما المجموعة الثانية فتتمثل في المعادن ذات الكثافة المنخفضة (3.4 – 3.2 جرام / سـم 3) وتتضمن كل من الأوجيت والهورنبلند والأبيدوم ، أما المعادن المعتنة فقد بلغت 42% بشواطئ النحت ، 19% بشواطئ الإرساب ، وقد تمثلت في المجاناتيت والأليمنيت والهيمنيت .

إتضح من دراسة الجدول رقم (10) أن عمليات التصنيف تتجه لعلاقات خطية بين معدلات تغيرات الشاطئ (نحت وإرساب) ونسبة تركيز المعادن الثقيلة ، حيث أن أكبر معدلات نحت بالشاطئ كان أكثر تركيزاً للمعادن الثقيلة الأعلى كثافة (20 %) وقد تجلى ذلك بالطرف الشرقي لشريط البازلت عند قرية البناءين غرب منطقة الدراسة ، على حين أن أكبر معدلات ترسيب بالشاطئ كان أكثر تركيزاً من المعادن الثقيلة ذات الكثافة المنخفضة (68 %) وذلك إلى الغرب مباشرة من مصب مصرف كتشنر بأقصى شرق منطقة الدراسة .

ومما لا شك فيه أن تركيز المعادن الثقيلة بنوعيها يعتمد على الظروف الهيدروديناميكية الممثلة في طاقة الموجة وسرعتها والتيار الساحلي وسرعة الرياح التي تحكم في النقل الساحلي ، بالإضافة إلى طغرافية الساحل (Ramadan et al ,2012,p5325) .

كما يتضح من دراسة الجدول السابق تداخل المعادن الثقيلة بنوعيها بكل من مواضع النحت والترسيب ، فعلى الرغم من تركيز المعادن الثقيلة عالية الكثافة بمواضع النحت (20 %) إلا أن مواضع الإرساب لم تخلو منها إذ بلغت بها 13 % ، كما أن تركيز المعادن الثقيلة منخفضة الكثافة بمواضع الإرساب (68 %) ، إلا أن مواضع النحت قد حظيت منها بنسبة 38 % ، ويرجح فريحي بأن هذا التداخل قد يكون مرتبط بالمناطق الإنقلالية فيما بين شواطئ النحت و شواطئ الإرساب والتي من

المحتمل أنها تمثل نقاط عقدية Nodal points يتغير عندها نظام العملية الجيومورفولوجية من نحت إلى إرساب أو العكس (Frihy,2007,p60).

سابعاً: العوامل المؤثرة في عملية النحت والإرساب في منطقة الدراسة :

1- الإنسان كعامل جيومورفولوجي وأعمال حماية السواحل :

مما لا شك فيه أن خط شاطئ منطقة الدراسة عانى من النحت الشديد والتراجع الخطير كما سبقت الإشارة ، لذلك فقد تم تنفيذ بعض أعمال الحماية للمناطق المعرضة للنحت بإقامة الحوائط البحرية groins ومكاسر الأمواج المفصولة Seawalls و الحاجز الموازي detached breakwaters وال الحاجز العمودية Jetties ، وقد أثرت أعمال الحماية في تغيير نظام النحت والإرساب على الشاطئ ’ فكما سبقت الإشارة أن الطرف الشرقي للبازلتى بقرية البنابين تعرض لنحت بطول 4 كم لأنه غير محمى وترواح النحت فيه فيما بين 2.5 – 6.3 متر / سنة ومن ثم فقد تم السيطرة على النحت بهذه المنطقة بإقامة مكسرتين مائيتين مفصولتين detached breakwaters بطول 5ر. كم ، بالإضافة إلى إقامة لسان صخري groins ومن ثم فقد تقلص النحت وإنقلب إلى ترسيب عند الكيلو 10.4 من بوغاز البرلس ، وفيما يلى موجز لأعمال الحماية التى تم إنجازها بالمنطقة :

1- تم إقامة حاجز بحرى البرلس عام 1984 بعرض 5 كم على منسوب 2.5 متر (شكل رقم 13) ، كما تم وضع غطاء من البوليستر على منسوب 3.50 متر على القاع وفوقه فرشة من البازلت وكتل الكونكريت Concrete (1 متر 3) تم وضعها عشوائياً عكس إتجاه الحاجز البحرى لتقوم بتنشيط الأمواج (صورة رقم 5) .

صورة رقم (5) شريط الكونكريت على الجانب الشمالى الشرقي للبرلس لحماية الكثبان الرملية من التراجع بفعل الأمواج

وتمثل المنطقة المدروسة كثبان برخانية ساحلية بين بوغاز البرلس ومصرف كتشنر بطول 16 كم وعرض 1 كيلو متر عمودية على خط الساحل بأقصى ارتفاع بلغ 34 متر (شكل رقم 17) 1- فى عام 1947 تم إقامة حاجز بحرى بطول 600 متر لحماية قرية البرج (صورة رقم 6)

صورة رقم (6) حاجز أمواج بازلتى بطول 600 متر لحماية قرية البرج
2- فى عام 1975 تم إقامة ساتر خرسانى Revetment شريط من البازلت بطول 1400 متر

شكل رقم (14) أعمال الحماية التي أقيمت بمنطقة الدراسة

3- فى عام 1971 تم إقامة حاجز صخري Jetty لبوغاز البرلس (شكل رقم 14)

4- فى عام 1984-83 تم إقامة حاجز صخري Jetty إلى الشرق من الحاجز السابق الذى أقيم عام 1972 على بعد 250 متر منه (شكل رقم 14).

5- فى عام 1990 تم إقامة حاجز صخري Jetty إلى الشرق من الحاجز السابقة للحفاظ على شكل مدخل البوغاز (شكل 15).

شكل رقم (15) حواجز صخرية أقيمت عام 1990 شرق بوغاز البرلس

6- بعد عام 2003 تم إقامة ميناء الصيد على الجانب الغربى من البوغاز كحاجز يمثل مكسر للميناء ونظير له على الجانب الأيسر (شكل رقم 7) .

صورة رقم (7) سبل حماية الشاطئ من أثر نحت الأمواج العاتية فى قرية برج البرلس

1- فى عام 2005 تم إقامة 9 مكسرات أمواج مفصولة detached breakwaters بمصيف بلطيم على بعد 15 كم شرق بوغاز البرلس بطول 350-250 متر بعيداً عن الساحل بنحو 220 متر والفاصل بين كل منها يتراوح بين 300-400 متر وعمق 3-4 متر (Tawfik,2012,p20) (شكل 16).

شكل رقم (16) مكسرات أمواج أقيمت عام 2005 شرق بوغاز البرلس بمصيف جمصة وقد إقامت هيئة حماية الشواطئ 5 حواجز أمواج أخرى بعد عام 2005 أمام سواحل الكثبان (صورة رقم 8).

صورة رقم (8) حواجز أمواج أقامتها هيئة حماية الشواطئ أمام سواحل الكثبان

وتتجدر الإشارة إلى أن نمط النحت والإرتاب على طول خط الساحل قد تأثر بشدة بمواضع تلك الأعمال الهندسية الساحلية Coastal structures ، فعلى الرغم من الدور الحيوي الذى تقوم به أعمال الحماية فى تخفيض معدلات النحت الساحلى ، إلا أنه يتضح وجود بقع ترسيبية غرب أعمال الحماية فى المنطقة خاصة فى مصيف بلطيم شرق المنطقة ، على حين يوجد نهر شرق تلك الأعمال وذلك لإعراضها لحركة الرواسب التى يحملها التيار الساحلى فى الإتجاه السائد من الغرب إلى الشرق والتى نتجت عن الأمواج فى الإتجاه السائد الشمالى الغربى بنسبة 69 % وبارتفاعات من 1-2 متر وفترة زمنية 6-7 ثانية والتى أدت إلى تكوين تيارات ساحلية من الغرب إلى الشرق بنسبة 74 % وسرعة متوسطة 46 سم/ث (El-Kolfat,2005,p899) ، كما حدث تراجع ونحت عند نطاقات الدفع السفلى down drift من أعمال الحماية على الجانب المظاهر منها نتيجة فعل العمليات الساحلية (الأمواج

والتيارات الساحلية) ، ثم قامت التيارات الساحلية المتحركة شرقاً بنقل نواتج النحت مما تسبب في ضحولة وإطماء بوغاز البرلس ومصب مصرف كتشنر ، ومن ثم فقد أوصى بإقامة نظام من الحواجز الصخرية للقليل من النحت بالمواضع الشرقية من أعمال الحماية ، كما أن كان هناك مسافة لا تقل عن 15 كيلو متر خالية تماماً من أعمال الحماية(شكل رقم 17) ونطاق آخر به مكاسر ما زالت تحت الإنشاء(شكل 18)

شكل رقم (17) نطاق ساحلي يخلو من أعمال الحماية

شكل رقم (18) مكاسر أمواج ما زالت تحت الإنشاء

وتمثل المنطقة المدروسة كثبان برخانية ساحلية بين بوغاز البرلس ومصرف كتشنر شرقاً بطول 16 كم وعرض 1 كيلو متر عمودية على خط الساحل بأقصى ارتفاع بلغ 34 متر (شكل رقم 18، 19)

شكل رقم(19) التوزيع الجغرافي للكثبان الرملية بساحل بطيم

2- إتجاه حركة مواد الشاطئ :

إتضح من دراسة الأمواج آنفًا والتيارات البحرية currents على طول ساحل منطقة الدراسة أن إتجاه نقل الرمال على طول الساحل كان يتوجه مباشرة إلى الشرق بفعل الأمواج السائدة من الشمال الغربي وإن كان هناك تغيرات محلية حيث يتوجه النقل عكس الإتجاه الشرقي وفقاً لإتجاه خط الساحل المحلي ومناخ الموجة ، ومن ثم فإن صافي النقل الرملي المتوجه شرقاً في نطاق زبد أمواج البحر كان مرتبطة بأمواج العواصف العالية surf zone high storm wave وكذلك إتجاه التيار الساحلي Littoral current ، ومن ثم فإن حجم المواد المنحوتة eroded materials كان إما أن يتوجه لبناء الشواطئ داخل وخارج منطقة الدراسة أو يتحرك نحو المياه العميقة بنطاق الشاطئ البعيد offshore خلال تيارات التمزق القوية rip currents . The powerful rip currents

وقد أشارت دراسة لطفى وفانوس 1999,p960 أن متوسط معدل

الدفع drift rate بلغ عند رأس البرلس غرب منطقة الدراسة نحو ٦١٠×٧٥ م^٣/سنة مما يفسر النحت الخطير بهذه المواقع ، وقد ترتبت على أثر حركة الرواسب تجاه الشرق إطماء بوغاز البرلس بالرواسب مما أدى لوجود مشاكل تتعلق بعمليات الصيد وتؤثر بشكل عام على الاقتصاد القومى للمحافظة

3-ارتفاع منسوب سطح البحر :

أشارت بعض الدراسات أن منسوب سطح البحر أخذ في الإزدياد المستمر حيث بلغ المعدل الأيوستاتى 1- 2 مم/السنة كنتيجة للإذابة المستمرة للثلاجات والغطاءات الجليدية فوق سطح العالم

(King, 1972, p305) , كما ذكر ريتير وآخرون أن منسوب سطح البحر المتوسط منذ 2000 سنة كان أقل مما هو عليه الحال في الوقت الحالي بنحو 50 سم ، وفي الـ 100 سنة الأخيرة إرتفع إلى 1.3 م / سنة (Ritter et al, 1995, p470) .

وقد نتج عن إرتفاع منسوب سطح البحر تراجع خط الساحل بواقع 10-15 م على طول الساحل المصري الدلتاوي (Inman and Jenkins, 1984, pp1600-1617) .

وفي محاولة لتوقع تغير النطاقات الساحلية التي يمكن أن تغطيها مياه البحر باستخدام خريطة الإرتفاعات الرقمية للمنطقة Dem فتم اعطاء لون مختلف لكل 1 متر في حالة إرتفاع منسوب سطح البحر بواقع 1 متر ببرنامج Arc GIS.10 (شكل رقم 20) فتبين أن 36 كم 2 (39.65 %) من المنطقة المدروسة سيشغل المساحات التي يتراوح منسوبها من - 1 إلى صفر متر ، أما المساحات التي يتراوح منسوبها بين صفر حت واحد متر فتصل إلى 45 كم 2 (60.34 %) ، حيث لا يظهر أى أثر لخطوط الكنتور التي تشير إلى تجاوز منسوب سطح البحر إلا في المنطقة الواقعة إلى الشرق مباشرةً من ساحل البحيرة الشرقي ، حيث يظهر خط كنتور واحد متر ، وبالاتفاق حول البحيرة جنوباً وغرباً تختفي خطوط الكنتور تماماً في دلالة على إنخفاض تلك الأراضي عن مستوى سطح البحر وهي تلك الأرضي التي كانت في الماضي القريب جزء من بحيرة البرلس قبل إنكماشها أو كانت تمثل أراضي معرضة للغرق أو مستنقعات على الخرائط القديمة ، ثم تعاود خطوط الكنتور الظهور مرة أخرى شمال البحيرة على الحاجز البحري الشرقي والغربي ، حيث يسود خط كنتور واحد متر ، كما يظهر خط كنتور 3،2 متر في مناطق محدودة كدلالة على وجود كثبان رملية

شكل رقم (20) النطاقات الساحلية التي يمكن أن تغطيها مياه البحر في حالة إرتفاع منسوب سطح البحر بواقع متر

3- طبغرافية الشاطئ والساخن :

تختلف خصائص النطاق الساحلي بمنطقة الدراسة من موضع لآخر نتيجة القوى الهيدروديناميكية الناتجة عن الأمواج والتيارات البحرية والمد والجزر Tides .

تحاط شواطئ منطقة الدراسة بالسهول الساحلية coastal flats والكثبان الرملية التي تمثل خط دفاع طبيعي أمام هجمات أمواج العواصف خاصة في بعض المواقع حيث الشاطئ المتراجع backshore ذو الإنحدار المنخفض low- lying .

وقد تعرض نطاق الكثبان الرملية الهلالية على مسافة 18 كم بدءاً من 2.5 كم شرق بوغاز البرلس حتى مصرف كتشنر للتدحر والإزالة نتيجة لبناء المنشآت الخاصة بالمنتزع الصيفي ببلطيم وإقامة الطريق الساحلي الدولي ، ومن ثم فقد ظهرت هذه الكثبان الرملية ككيانات منعزلة Isolated bodies لذلك فإن مياه المد العالى تصل لمسافات بعيدة في إتجاه اليابس ، كما أن مواد الشاطئ materials beach بالشاطئ الأمامي foreshore تحركت بواسطة أمواج عواصف الهدم the destructive storm فكشفت رواسب قاعدة الشاطئ ونتيجة لذلك فإن هذا القطاع من الساحل يحتاج إلى حماية defines في غياب الكثبان ذات الحماية الطبيعية الفعالة effective dunes (شكل رقم 17)

4- العواصف الساحلية :

تعرض منطقة الدراسة لنحو 60 عاصفة في السنة أثناء فصل الشتاء (نوفمبر – مارس) (khafagy 1979) , ومما لا شك فيه أن هذه العواصف تؤثر على عمليات النحت والإرساء الساحلي كل عام ، فأثناء ظروف العاصفة تتندفع رمال الشاطئ shifted للشاطئ البعيد offshore ويتم فقد معظم تكوينات الشاطئ الأمامي foreshore, ومن ثم فإن التلاطم الشديد more Intense wash يكون لديه القدرة على الوصول لمسافات طويلة تجاه اليابس landward ولذلك يكون النحت شديداً أثناء ظروف العاصفة ، مما يؤثر سلباً على الطرق والعمaran بنطاق الشاطئ ومن ثم فإنه لابد من الأخذ بعين الإعتبار عند التخطيط طول المدى للأثر الإحتمالي للعواصف التي تحدث شتاءً والتغيرات الساحلية المتوقعة (صورة رقم 10 ،

11

صورة رقم (10) تقويض الأمواج صورة رقم (9) تعرض منازل النطاق الساحلي

الإمارة أقا ١٢٠

ثامناً : الخاتمة :

1- النتائج : توصلت الدراسة إلى النتائج التالية :

أ - تنقسم منطقة الدراسة إلى نطاقين أحدهما إلى الشرق من منطقة الدراسة ويمثل شواطئ النحت ويمتد من مصب مصرف كتشنر شرقاً متوجهاً صوب الغرب لمسافة 16 كم ، والأخر إلى الغرب من منطقة الدراسة ويمثل شواطئ الإرساء ، ويمتد لمسافة 24 كم إلى الغرب من النطاق السابق حتى بوغاز البرلس غرباً ، ويعكس كل منها حيث أثر كل من الأمواج والتيارات البحرية بالمنطقة .

ب- إرتبطت تغييرات خط الساحل (تقديم وتراجع) أساساً بكمية تصريف الرواسب النيلية المتصرفة إلى البحر والمنشآت الهيدروديناميكية (سدود وقنابر) التي تم إقامتها على مجرى نهر النيل وفرعيه ، حيث أنه بعد إقامة تلك المنشآت على نهر النيل فإن مقادير محدودة من المياه محمولة بالرواسب أصبحت يصبها النهر في البحر المتوسط ، ومن ثم فإن النحت والتراجع الساحلي أصبح هو السائد .

ج- أن رواسب شواطئ النحت كانت أنعم وأكثر تصنيفًا وذات إلتواء موجب إلى حد ما وذات قيم تقطلخ منخفضة عند رواسب الإرساء

د- أن الرواسب الناعمة تتركز في شواطئ النحت ، بينما تتركز الرواسب الخشنة في شواطئ الإرساء .

هـ- تتسنم الرواسب الناعمة بأنها غنية بالمعادن الثقيلة عالية الكثافة مثل الجارنت والزيركون والروتيل والمونازيت وقد تم حسابها لتكونيات الرمال السوداء .

و- أن الرواسب الخشنة كانت غنية بالمعادن الثقيلة منخفضة الكثافة مثل الأوجيت والهورنبلند والأبيدوت والتورمالين وكذلك المعادن الخفيفة (الكوارتز والفلسبار) .

ز- أن النطاق الساحلي بمنطقة الدراسة يتعرض في الوقت الراهن لتغيرات خط ساحل كثيفة ويواجه مشكلات عديدة منها الغمر البحري وإطماء بوغاز بحيرة البرلس ومصبات الأنهار (مصب مصرف كتشنر) وكذلك اخترق المياه المالحة .

ح- أن العوامل المسئولة عن تشكيل سواحل منطقة الدراسة بعضها طبيعياً يتمثل في طبغرافية الشاطئ والساحل وإتجاه حركة مواد الشاطئ بفعل الأمواج والتيارات البحرية وإرتفاع منسوب سطح البحر والعواصف الساحلية ، وأخرى بشرية ترتبط بالإنسان كعامل جيومورفولوجي وما قام به من إقامة منشآت ساحلية بهدف الحد من النحت الساحلي وكذلك ما قام به من منشآت حاكمة للرى عبر نهر النيل وفرعيه وترتبط عليها إنقطاع الإمداد الروسي إلى الساحل مما أثر سلباً على تراجع الساحل ونحوه السريع

ط- أن نحت خط الساحل الحالى بمنطقة الدراسة ترتب عليه تدمير طرق ساحلية وقدان منشآت وأراضى زراعية وشواطئ المصيف التى دمرت (مصيف بطيم) (صورة رقم 10 ، 11)

ى - إذا استمر معدل النحت الحالى فإنه سوف ينتج عنه إزالة لمنطقة الكثبان الرملية الممثلة ل حاجز طبيعى وسوف تصبح بحيرة البرلس جزءاً من البحر ، لذلك فإن أعمال الحماية الحالية لم تكن بالقدر الكافى لحماية الشاطئ ككل .

2- التوصيات :

أ- استخدام التغذية الصناعية من الرمال الخشنة بالإضافة إلى إقامة نظام من الرؤوس البحرية groins على مسافة وطول مناسب لكي تهاجم النحت على جوانب الدفع السفلى down drift من أعمال الحماية الساحلية .

ب- استخدام أساليب حماية ساحلية بديلة مثل الكثبان dunes والمزارع الساحلية وتغذية الشاطئ بالرواسب nourishment أو إمرار جزئى للرمال sand-bypassing للمحافظة على الظروف الطبيعية وتأثير بشكل محدود على البيئات وتسمى هذه الأساليب للحماية بإسم " التثبيت غير الصارم soft stabilization .

ج- العمل على حل مشكلة إطماء مصب مصرف كتشنر من خلال تخفيض قاع البحر ونقل

المواد التى سيتم إزالتها عن طريق خط أنابيب إلى الشواطئ التى تعانى من النحت غرب

مصرف كتشنر والتى يصل معدل النحت بها إلى 11.5 لامتر / سنة (Frihy and Deabes,2011,p43

- د- المتابعة المستمرة فى قياس مدى فعالية أعمال الحماية الحالية وصيانتها حتى تقوم بالدور المنوط بها فى حماية الشواطئ .
- ـ ـ الإهتمام بمشكلات النحت الساحلى من خلال التخطيط طويل المدى وتوقع التغيرات الساحلية ، كما يمكن أن تساعد نتائج هذه الدراسة المهندسين والمخططين فلة التعامل مع تغيرات خط الساحل القديم والمستقبلى فى هذه المنطقة .
- ـ ـ إقامة نظام من الألسنة الصخرية groins على مسافة ملائمة لكي تقلل من معدلات النحت من خلال الدفع السفلى drift down من أعمال الحماية
- ـ ـ دعم أعمال الحماية الحالية بأعمال حماية إضافية لمنع نحت المناطق المجاورة لخط الساحل
- ـ ـ حماية مواضع النحت الناتجة شرق أعمال الحماية بعمل تغذية صناعية من الرمال الخشنة مع نظم من الحواجز البحرية المتوازية القصيرة .

تاسعاً : قائمة المراجع العربية والأجنبية :

- 1- عمر محمد صبرى محسوب (2009) ، جيمورفولوجيا السهل الساحلى لדלתا النيل ، رسالة ماجستير غير منشورة ، كلية الآداب ، جامعة عين شمس ، القاهرة .
- ـ ـ ـ ـ حمدينه عبد القادر السيد العوضى (2007) ، الحواجز البحرية المنفصلة فى شواطئ مصر ببلطيم ، المجلة الجغرافية العربية ، العدد التاسع والأربعون – الجزء الأول، القاهرة .
- ـ ـ ـ ـ عادل عبد المنعم السعدنى،2006،الكتبان الرملية الطولية فى شمال شرق بحيرة البرلس- دراسة جيمورفولوجية ، المجلة الجغرافية العربية ، العدد الثامن والأربعون – الجزء الثاني .
- ـ ـ ـ ـ إسلام سلامة محمد ، 2006 ، دراسة مقارنة للأخطار الجيمورفولوجية فى مجرى فرعى رشيد ودمياط ، رسالة دكتوراه غير منشورة ، كلية الآداب ، جامعة بنها .
- ـ ـ ـ ـ محمد الخزامى عزيز (2004) نظم المعلومات الجغرافية – أساسيات وتطبيقات للجغرافيين ، الإسكندرية ، منشأة المعارف.
- ـ ـ ـ ـ محمد محمود طه، (2003) الأدلة الجيمورفولوجية لأنماط الإرتاب يدلتا النيل خلال الهولوسين، المجلة الجغرافية العربية ، العدد الواحد والأربعون ، الجزء الأول ، القاهرة ،

1-AboZed,A.I. and Shereet,S.M.,(2005)dynamics of near-shore sediments and coast changes astride Rosetta branch, Egypt,Emirates journal for engineering research,vol.10,No.2,pp51-61.

-22- Badr,A.A. and Sesick,K.N,(2001)shoreline changes and seasonal variations of coastal sediments along Damietta promontory ,Egypt,5,International conference on Geochemistry, Alex.univ.,12-13 sep.,pp71-80

3- Bladge H.W., Taylor P.T, Roark J.H. (1991),shoreline changes along the Rosetta, Nile promontory : monitoring with satellite observations,marine geology,99.

4- Blodget H.W., , Taylor P.T and Roark(1989),satellite remote sensing of shoreline changes,Rosetta-Nile promontory ,Egypt,coastal sediment mobility proc-english symposium on coastal sedimentology- Geology department , pp 107-119.

5- Covmick J.M and Thiruvalhukal J. V. (1976) , elements of oceanography , London, p.116

6- El Askary M.A, M.F.Lotfy,(1980),coastal erosion and accretion at the esat of Damietta, Egypt.Bulletin of faculty of science , Jeddah,4,pp 257-264.

7- El-Rakaiby, M.L., and Attia, N.A.,(2005) "Morphological and Geological classification of the Egyptian northern, Coastal environment, using spase image technology". Bulletin of the Egyptian Geographical Society, vol.78, Cairo. 2005.

8- Elwany, M.H., Khafagy A.A, Inman D.L. and Fanos A.M (1988) analysis of wave from arrays at Abu Quir and Ras El Bar,Egypt,advances in underwater technology,ocean sciene and offshore engineering,16,pp89-97.

9- Elbisy M.S. and Ghuman B.A. (2011), management of longshore currents along Ras El 9-Bar coast,northeast Nile delta,Egypt,Canadian journal on environmental construction and Civil engineering vol.2, No.4 April,pp32-36.

10- El-Fishawy N.M. (1994),characteristics of littoral drift along the Nile delta coast,1.Alexandria-Burullus.INQUA MBSS Newsletter 16,pp38

11- El-Gamal A.A.,andSaleh, H (2012),radiological and mineralogical investigation of accretion and erosion coastal sediments in Nile Delta region,Egypt,journal of oceanography and marine science vol.3 (3),pp41-55,December.

12-.El-Kolfat, A.I .,(2005) coastal characteristics and behavior for eastern Nile Delta region,Egypt(Burullus-port-said),Alexandria enginereeing journal,vol.44,No.6,pp899-910.

13- Fanos A.M. and Khafagy A.A (1990), longshore current data analysis for the period from 1980 to 1989 at Burullus coast internal, technical report .

- 14- Frihy O.E., Debes E.E. and waleed R.E,(2003)processes reshaping the Nile delta promontories of Egypt : pre-and post-protection,El sevier,Geomorphology 53,pp263-279
- 15- Folk R.L and Ward W.C .,(1957),Brazos river Bar:a study in the significance of grain size parameter.Jour.sedimentology.petro.vol.27,pp3-26.
- 16- Frihy O.E.,and, Dewidar K.M.,(2003) patterns of erosion,sedimentation,heavy mineral concentration and grain size to interpret boundaries of littoral sub-cells of the Nile Delta,Egypt,marine geology,199,pp27-43.
- 17-Frihy.O.E.,(2007)the Nile Delta : processes of heavy mineral sorting and depositional patterns,heavy minerals in use,developments in sedimentology,58,Edited by Moria A.mange and David T.wright, Elsevier,Amsterdam,pp49-74
- 18- Frihy.O.E and A.M.Fanos ,A.A Khafagy and P.D.Komar (1991) ,patterns of nearshore sediment transport along the Nile delta, Egypt,coastal engineering,15,pp 405-429.
- 19- Frihy, O.E., El-Fishawy, N.M.El-Askary, M.A (1988),Geomorphological features of the Nile delta coastal plain: a review.act adriatica (Yugoslovia) 29,pp51-65.
- 20- Frihy, O.E. (1988), Nile delta shoreline changes :aerial photographic study of 28 year period.J.coastal research 4,pp597-605.
- 21- Frihy O.E.and Debes E.E. (2011) Beach and nearshore morphodynamics of the central – bulge of the Nile Delta coast,Egypt,international journal of environmental protection(IJEP), vol.1,No.2,pp33-46.
- 22-Hilaly N .(1971), coastal investigations near the Rosetta exit of the river Nile, Suez canal auth.tech.Rep.54-60.
- 23-Iskander M. M. (2013)Wave climate and coastal structures in the Nile Delta coast of Egypt,Emirates journal for engineering research, vol.18,No.1,pp43
- 24-Inman D.L , Aubrey D.G and Pawke S.S (1976) ,application of near shore processes to the Nile delta, a preliminary report proceeding

- 25- Komar P.D., (2007),the environment,transport and sorting of heavy minerals by waves and currents in: Mange,M.A,wright,D.T.(Eds.), heavy minerals in use. Developments in sedimentology(this volume)
- 26- Kevin W. and El Asmar, H.M. (1999),monitoring changing position of coastline using thematic mapper imagery an example from the Delta,El sevier, Geomorphology 29,pp93-105.
- 27- Klemas V. and Abdel Kader A.M. (1982),remote sensing of coastal processes with emphasis on the Nile delta ,in: International symposium on remote sensing of environments, Egypt,27p
- 28- Khafagy A.A.and Manohar, M. (1979) , coastal protection of the Nile delta .Nat.\resour,15,pp7-13.
- 29-Komar, P,D (1976),Beach processes and sedimentation,Newjersy,p46.
- 19- Lotfy M.F.and Frihy O.E. (1993) sediment balance in the nearshore zone of the Nile Delta coast ,Egypt,journal of coastal research, vol.9, No.3,pp 654-662.
- 30- Masselink, G., and Hughes.(2003) Introduction to coastal processes and Geomorphology. London, Edward Arnold.
- 31-.Manohar, M (1976),dynamic factors effecting the Nile delta coast,proceedings UNESCO seminar on Nile delta sedimentology, Alexandria ,pp104-129.
- 32- Naffaa M.G. and Fanos A.M.and El-Ganainy, M.A (1991),characteristics of waves of the Mediterranean coast of Egypt, journal of coastal research,vol,7,No.3.
- 33-Naffaa, M.G. (1995), wave climate along the Nile delta coast,journal of coastal research,vol.11, No.1,gort lauderadate,Florida,pp219-229.
- 34- Omau K. C (2003), wave climate reshaping the Mediterranean coasts of Egypt .
- 35-Orlova V.P (1974) erosion of the shores of the Nile delta,Geoforum,vol.18,pp68-72.
- 36-Quellenec, R.E (1977) study of wave runs in delta near shore wave records(Burullus) proceeding UNESCO seminar on Nile delta coastal processes with special emphasis on hydrodynamical aspects ,Alexandria , pp 157- 165.

- 37- Ramadan, F., zalamah A. and Saad A.M. (2012),provenance of heavy minerals in some occurrences of placer deposits along tip of Egyptian Mediterranean coastal plain ,journal of applied sciences research,8(11),pp5322-5332.
- 38-Senapathi.venkatramanan,T.K.Ramkmar,Irudhayanathan Anithamary and Govindaraj Ramesh(2011),variation in texture of beach sediments in the vicinity of the tirumalairjanar river mouth of India, International journal of sediment research vol,26,No.4pp460-470
- 39-Sestini, G (1976)Geomorphology of the Nile delta ,proceedings UNESCO seminar on Nile delta sedimentology, Alexandria,pp12-24.
- UNESCO seminar on Nile delta, sedimentology,Alexandria,pp205-255.
- 40-Sharaf El Din S.H (1974),longshore sand transport in the Surf zone along the Mediterranean Egyptian coast, Imnology and oceanography, March,v.19 (2) ,pp182-189.
- 41- Smith. E.S. and A.Abdel kader(1988) ,coastal erosion along the Egyptian delta,journal of coastal research 2,pp245-255.
- 42-Stanley.D.J.,(1991), Late Quaternary evolution of the Burullus lagoon region, north-central Nile delta, Egypt,marine geology, Volume 99, Issues 1–2,pp 45-66
- 43-Taha , M.T (2012) analysis and modeling of long-term shoreline changes and alongshore sediments characteristics on the Nile Delta coast,adissertation submitted to the department of civil engineering in partial fulfilement of the requirements for the degree of doctor of philosophy in civil engineering at the university of Tokyo,September.
- 44- Zaghloul Z.M.,F.A.El- Nasharty and L.A.Isa(1984), contribution to the coastal changes in the area port said and lake Bardawil,Egyptian journal of geology, vol.28,No.1,pp25-30,edit by the Egyptian geological society,published by the national information and documentation centre ,NIDOC,Dokki,Cairo,Egypt.
- 45-Zenkovich, V .(1970),continuation of the preliminary report on the group of Soviet scientists work at UAR during January- April on the problem of coastal erosion at the Nile delta margin.Acad,sci.Res.Technol.,shore protection proj.,Egypt,23 p.